

Calcul de formes normales matricielles: de l'algorithmique à la mise en pratique

Clément PERNET,

LIG/INRIA-MOAIIS, Université de Grenoble, France

Séminaire SIESTE, ENS-Lyon 12 février 2013

Introduction : formes normales matricielles

Étant donné une famille de transformations $B = f_U(A)$,

- ▶ Identifier des invariants
- ▶ Représentant unique des classes d'équivalences
- ▶ Simplifier les calculs (forme structurée ou creuse)

Différent types:

Équivalence à gauche dans un corps: $B = UA$, où U est inversible

- ▶ Forme échelonnée réduite:

$$E = \begin{bmatrix} 1 & * & 0 & * & * & 0 & * \\ & & 1 & * & * & 0 & * \\ & & & & & 1 & * \end{bmatrix}$$

- ▶ Élimination de Gauss-Jordan

Introduction : formes normales matricielles

Étant donné une famille de transformations $B = f_U(A)$,

- ▶ Identifier des invariants
- ▶ Représentant unique des classes d'équivalences
- ▶ Simplifier les calculs (forme structurée ou creuse)

Différent types:

Équivalence à gauche dans un anneau: $B = UA$, où $\det(U) = \pm 1$

- ▶ Forme de Hermite:

$$H = \begin{bmatrix} p_1 & * & x_{1,2} & * & * & x_{1,3} & * \\ & & p_2 & * & * & x_{2,3} & * \\ & & & & & p_3 & * \end{bmatrix}, \text{ avec}$$

$$0 \leq x_{*,j} < p_j$$

Introduction : formes normales matricielles

Étant donné une famille de transformations $B = f_U(A)$,

- ▶ Identifier des invariants
- ▶ Représentant unique des classes d'équivalences
- ▶ Simplifier les calculs (forme structurée ou creuse)

Différent types:

Similitude dans un corps: $B = U^{-1}AU$

- ▶ Forme normale de Frobenius (ou forme canonique

rationnelle): $F = \begin{bmatrix} C_{P_0} & & & \\ & C_{P_1} & & \\ & & \ddots & \\ & & & C_{P_k} \end{bmatrix}$, avec $p_{i+1} | p_i$ et

$P_0 = \text{MinPoly}(A)$.

- ▶ Méthode de Krylov ou élimination ZigZag

Motivation

Équivalence dans un corps: élimination de Gauss

- ▶ **Forme échelonnée réduite**, profile de rang: résolution de systèmes polynomiaux par bases de Gröbner.
- ▶ Résolution de systèmes linéaires: crypto (cribles, calcul d'index, ...)

Équivalence dans un anneau: réduction de réseaux

- ▶ **Forme normale de Hermite**: \mathbb{Z} -modules et leur saturation
- ▶ calcul de vecteurs courts:
 - ▶ difficile (donc applications en crypto)
 - ▶ améliore les complexités
 - ▶ théorie des codes: décodage en liste

Complexités

Produit de matrices: accès aux algorithmes rapides

- ▶ dans un corps: $\mathcal{O}(n^\omega)$. $\omega \in]2.3727, 3]$ (exposant de l'algèbre lin.)
- ▶ dans \mathbb{Z} : $\mathcal{O}(n^\omega M(\log \|A\|)) = \tilde{\mathcal{O}}(n^\omega \log \|A\|)$

Équivalence dans un corps: forme échelonnée réduite

- ▶ Gauss-Jordan: $\mathcal{O}(n^\omega)$

Complexités

Produit de matrices: accès aux algorithmes rapides

- ▶ dans un corps: $\mathcal{O}(n^\omega)$. $\omega \in]2.3727, 3]$ (exposant de l'algèbre lin.)
- ▶ dans \mathbb{Z} : $\mathcal{O}(n^\omega M(\log \|A\|)) = \tilde{\mathcal{O}}(n^\omega \log \|A\|)$

Équivalence dans un corps: forme échelonnée réduite

- ▶ Gauss-Jordan: $\mathcal{O}(n^\omega)$

Équivalence dans \mathbb{Z} : forme normale de Hermite

- ▶ [Kannan & Bachem 79]: $\in P$
- ▶ [Chou & Collins 82]: $\tilde{\mathcal{O}}(n^6 \log \|A\|)$
- ▶ [Domich & Al. 87], [Illiopoulos 89]: $\tilde{\mathcal{O}}(n^4 \log \|A\|)$
- ▶ [Micciancio & Warinschi01]: $\tilde{\mathcal{O}}(n^5 \log \|A\|^2)$,
 $\mathcal{O}(n^3 \log \|A\|)$ heur.
- ▶ [Storjohann & Labahn 96]: $\tilde{\mathcal{O}}(n^{\omega+1} \log \|A\|)$

Complexités

Produit de matrices: accès aux algorithmes rapides

- ▶ dans un corps: $\mathcal{O}(n^\omega)$. $\omega \in]2.3727, 3]$ (exposant de l'algèbre lin.)
- ▶ dans \mathbb{Z} : $\mathcal{O}(n^\omega M(\log \|A\|)) = \tilde{\mathcal{O}}(n^\omega \log \|A\|)$

Équivalence dans un corps: forme échelonnée réduite

- ▶ Gauss-Jordan: $\mathcal{O}(n^\omega)$

Équivalence dans \mathbb{Z} : forme normale de Hermite

- ▶ [Kannan & Bachem 79]: $\in P$
- ▶ [Chou & Collins 82]: $\tilde{\mathcal{O}}(n^6 \log \|A\|)$
- ▶ [Domich & Al. 87], [Illiopoulos 89]: $\tilde{\mathcal{O}}(n^4 \log \|A\|)$
- ▶ [Micciancio & Warinschi01]: $\tilde{\mathcal{O}}(n^5 \log \|A\|^2)$,
 $\tilde{\mathcal{O}}(n^3 \log \|A\|)$ heur.
- ▶ [Storjohann & Labahn 96]: $\tilde{\mathcal{O}}(n^{\omega+1} \log \|A\|)$

Similitude dans un corps: forme normale de Frobenius

- ▶ [Storjohann00]: $\tilde{\mathcal{O}}(n^\omega)$
- ▶ [P. & Storjohann07]: Las Vegas sans U $\mathcal{O}(n^\omega)$

Complexités

Produit de matrices: accès aux algorithmes rapides

- ▶ dans un corps: $\mathcal{O}(n^\omega)$. $\omega \in]2.3727, 3]$ (exposant de l'algèbre lin.)
- ▶ dans \mathbb{Z} : $\mathcal{O}(n^\omega M(\log \|A\|)) = \tilde{\mathcal{O}}(n^\omega \log \|A\|)$

Équivalence dans un corps: forme échelonnée réduite

- ▶ **Gauss-Jordan:** $\mathcal{O}(n^\omega)$

Équivalence dans \mathbb{Z} : forme normale de Hermite

- ▶ [Kannan & Bachem 79]: $\in P$
- ▶ [Chou & Collins 82]: $\tilde{\mathcal{O}}(n^6 \log \|A\|)$
- ▶ [Domich & Al. 87], [Illiopoulos 89]: $\tilde{\mathcal{O}}(n^4 \log \|A\|)$
- ▶ **[Micciancio & Warinschi01]:** $\tilde{\mathcal{O}}(n^5 \log \|A\|^2)$,
 $\tilde{\mathcal{O}}(n^3 \log \|A\|)$ **heur.**
- ▶ [Storjohann & Labahn 96]: $\tilde{\mathcal{O}}(n^{\omega+1} \log \|A\|)$

Similitude dans un corps: forme normale de Frobenius

- ▶ [Storjohann00]: $\tilde{\mathcal{O}}(n^\omega)$
- ▶ **[P. & Storjohann07]: Las Vegas sans U** $\mathcal{O}(n^\omega)$

Motivation

Briques de base algorithmique et logicielles pour le calcul de formes normales en algèbre linéaire.

En bref

Réductions à une brique de base

MatMul : bloc rec. $\sum_{i=1}^{\log n} n \left(\frac{n}{2^i}\right)^{\omega-1} = \mathcal{O}(n^\omega)$ (Gauss)

MatMul : itératif $\sum_{k=1}^n n \left(\frac{n}{k}\right)^{\omega-1} = \mathcal{O}(n^\omega)$ (Frobenius)

Linear Sys : dans \mathbb{Z} (Hermite)

Compromis taille/dimension

Hermite : perturb. de rang 1 pour réduire le déterminant

Frobenius : degré k , dimension n/k pour $k = 1 \dots n$

Motivation

Briques de base algorithmique et logicielles pour le calcul de formes normales en algèbre linéaire.

En bref

Réductions à une brique de base

MatMul : bloc rec. $\sum_{i=1}^{\log n} n \left(\frac{n}{2^i}\right)^{\omega-1} = \mathcal{O}(n^\omega)$ (Gauss)

MatMul : itératif $\sum_{k=1}^n n \left(\frac{n}{k}\right)^{\omega-1} = \mathcal{O}(n^\omega)$ (Frobenius)

Linear Sys: dans \mathbb{Z} (Hermite)

Compromis taille/dimension

Hermite : perturb. de rang 1 pour réduire le déterminant

Frobenius : degré k , dimension n/k pour $k = 1 \dots n$

Mise en oeuvre dans les bibliothèques

- ▶ FFLAS-FFPACK: dense, \mathbb{Z}_p où $p \approx$ mot machine.
- ▶ M4RI: dense, GF(2)
- ▶ LinBox: dense/creux/boîte-noire dans \mathbb{Z} , \mathbb{Z}_p

Le produit de matrices dans $\mathbb{Z}/p\mathbb{Z}$

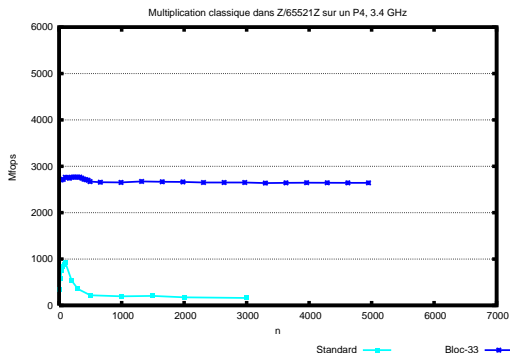
Principe:

- ▶ Réductions modulaires différées \Rightarrow plongement dans \mathbb{Z}
- ▶ Arithmétique flottante (fma, SSE2, avx ...)

Le produit de matrices dans $\mathbb{Z}/p\mathbb{Z}$

Principe:

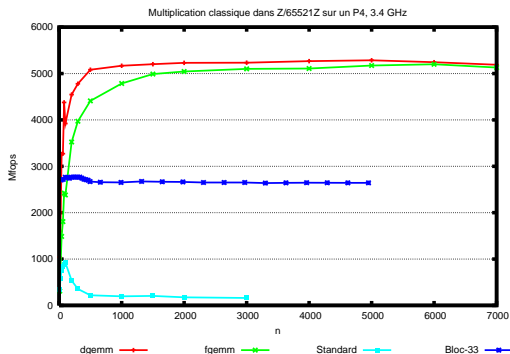
- ▶ Réductions modulaires différées \Rightarrow plongement dans \mathbb{Z}
- ▶ Arithmétique flottante (`fma`, SSE2, `avx` ...)
- ▶ Optimisation de cache



Le produit de matrices dans $\mathbb{Z}/p\mathbb{Z}$

Principe:

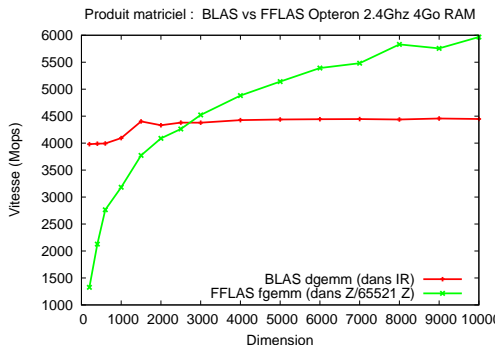
- ▶ Réductions modulaires différées \Rightarrow plongement dans \mathbb{Z}
- ▶ Arithmétique flottante (`fma`, SSE2, avx ...)
- ▶ Optimisation de cache
 - \Rightarrow repose sur les BLAS existants



Le produit de matrices dans $\mathbb{Z}/p\mathbb{Z}$

Principe:

- ▶ Réductions modulaires différées \Rightarrow plongement dans \mathbb{Z}
- ▶ Arithmétique flottante (f_{ma} , SSE2, avx ...)
- ▶ Optimisation de cache
 \Rightarrow repose sur les BLAS existants
- ▶ Algorithme sous-cubique (Strassen-Winograd)



Plan

Élimination de Gauss pour la forme échelonnée réduite

Décompositions à base d'éliminations de Gauss

Algorithmes

Forme normale de Hermite

Forme normale de Frobenius

Méthode de Krylov

Algorithme

Reduction au produit de matrices

Plan

Élimination de Gauss pour la forme échelonnée réduite

Décompositions à base d'éliminations de Gauss

Algorithmes

Forme normale de Hermite

Forme normale de Frobenius

Méthode de Krylov

Algorithme

Reduction au produit de matrices

Élimination de Gauss pour la forme échelonnée réduite

Élimination de Gauss < Forme échelonnée réduite

- ▶ Complètement étudiée pour le calcul numérique
- ▶ Spécificités du calcul exact:
 - ▶ pas de contrainte de stabilité (pivotage partiel ou total)
 - ▶ Défaut de rang, profil de rang
- ▶ Éventuellement: taille des coefficients (\mathbb{Z} ou $\text{GF}(2)$)

Élimination de Gauss pour la forme échelonnée réduite

Élimination de Gauss < Forme échelonnée réduite

- ▶ Complètement étudiée pour le calcul numérique
- ▶ Spécificités du calcul exact:
 - ▶ pas de contrainte de stabilité (pivotage partiel ou total)
 - ▶ Défaut de rang, **profil de rang**
- ▶ Éventuellement: taille des coefficients (\mathbb{Z} ou $\text{GF}(2)$)

Definition (Profil de rang en ligne)

Sous séquence lexico. minimale de $r = \text{rang}(A)$ indices de lignes $\in \{1, 2, \dots, n\}$ linéaires indépendantes.

Definition (Profil de rang générique)

Les $r = \text{rang}(A)$ mineurs dominants principaux sont non nuls.

Plan

Élimination de Gauss pour la forme échelonnée réduite

Décompositions à base d'éliminations de Gauss

Algorithmes

Forme normale de Hermite

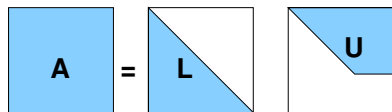
Forme normale de Frobenius

Méthode de Krylov

Algorithme

Reduction au produit de matrices

Décomposition LU

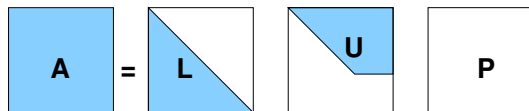


- ▶ L : triangulaire inf. unitaire
- ▶ U : triangulaire sup. inversible

Existe pour

- ▶ les matrices ayant un **profil de rang générique** (tout mineur principal dominant est non nul)

Décomposition LUP

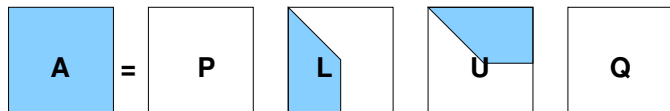


- ▶ L : triangulaire inf. unitaire
- ▶ U : triangulaire sup. inversible
- ▶ P : matrice de permutation

Existe pour

- ▶ toute matrice **régulière**
- ▶ ou toute matrice avec profil de rang en ligne générique

Décomposition PLUQ



- ▶ L : triangulaire inf. unitaire
- ▶ U : triangulaire sup. inversible
- ▶ P : matrice de permutation
- ▶ Q : matrice de permutation

Existe pour

- ▶ toute matrice $m \times n$

Décompositions CUP et PLE

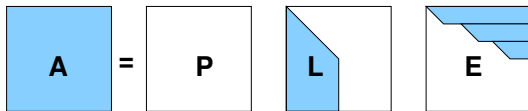


- ▶ C : forme échelonnée colonne
- ▶ E : forme échelonnée ligne

Existe pour

- ▶ toute matrice $m \times n$

Décompositions CUP et PLE

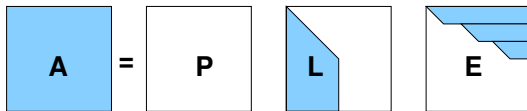


- ▶ C: forme échelonnée colonne
- ▶ E: forme échelonnée ligne

Existe pour

- ▶ toute matrice $m \times n$

Décompositions CUP et PLE



- ▶ C: forme échelonnée colonne
- ▶ E: forme échelonnée ligne

Existe pour

- ▶ toute matrice $m \times n$

Definition

- ▶ Profil de rang en ligne: indice des pivots dans C
- ▶ Profil de rang en colonne: indice des pivots dans E

Plan

Élimination de Gauss pour la forme échelonnée réduite

Décompositions à base d'éliminations de Gauss

Algorithmes

Forme normale de Hermite

Forme normale de Frobenius

Méthode de Krylov

Algorithme

Reduction au produit de matrices

Type d'algorithmes

Localité des données: algorithmes par blocs

- ▶ cache aware: itératif par blocs
- ▶ cache oblivious: récursif par blocs

Efficacité du cas de base: itératif simple

Complexité asymptotique: récursif par blocs

Parallélisation:

- ▶ processor aware: itératif par blocs
- ▶ processor oblivious: récursif par blocs

Type d'algorithmes

Localité des données: algorithmes par blocs

- ▶ cache aware: itératif par blocs
- ▶ cache oblivious: **récuratif par blocs**

Efficacité du cas de base: itératif simple

Complexité asymptotique: **récuratif par blocs**

Parallélisation:

- ▶ processor aware: itératif par blocs
- ▶ processor oblivious: **récuratif par blocs**

Préliminaires

TRSM: TRIangular Solve with Matrix

$$\begin{bmatrix} A & B \\ & C \end{bmatrix}^{-1} \begin{bmatrix} D \\ E \end{bmatrix} = \begin{bmatrix} A^{-1} & \\ & I \end{bmatrix} \begin{bmatrix} I & -B \\ & I \end{bmatrix} \begin{bmatrix} I & \\ & C^{-1} \end{bmatrix} \begin{bmatrix} D \\ E \end{bmatrix}$$

Préliminaires

TRSM: TRIangular Solve with Matrix

$$\begin{bmatrix} A & B \\ & C \end{bmatrix}^{-1} \begin{bmatrix} D \\ E \end{bmatrix} = \begin{bmatrix} A^{-1} & \\ & I \end{bmatrix} \begin{bmatrix} I & -B \\ & I \end{bmatrix} \begin{bmatrix} I & \\ & C^{-1} \end{bmatrix} \begin{bmatrix} D \\ E \end{bmatrix}$$

$$F = C^{-1}E$$

$$G = D - BF$$

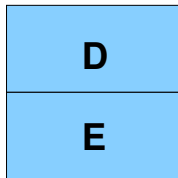
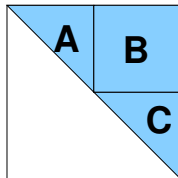
$$H = A^{-1}G$$

Return $\begin{bmatrix} H \\ F \end{bmatrix}$

(appel récursif)

(MM)

(appel récursif)



Préliminaires

TRSM: TRIangular Solve with Matrix

$$\begin{bmatrix} A & B \\ & C \end{bmatrix}^{-1} \begin{bmatrix} D \\ E \end{bmatrix} = \begin{bmatrix} A^{-1} & \\ & I \end{bmatrix} \begin{bmatrix} I & -B \\ & I \end{bmatrix} \begin{bmatrix} I & \\ & C^{-1} \end{bmatrix} \begin{bmatrix} D \\ E \end{bmatrix}$$

$$F = C^{-1}E$$

$$G = D - BF$$

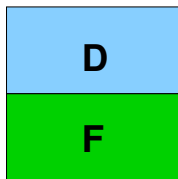
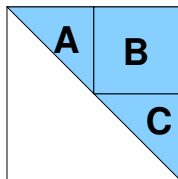
$$H = A^{-1}G$$

Return $\begin{bmatrix} H \\ F \end{bmatrix}$

(appel récursif)

(MM)

(appel récursif)



Préliminaires

TRSM: TRIangular Solve with Matrix

$$\begin{bmatrix} A & B \\ & C \end{bmatrix}^{-1} \begin{bmatrix} D \\ E \end{bmatrix} = \begin{bmatrix} A^{-1} & \\ & I \end{bmatrix} \begin{bmatrix} I & -B \\ & I \end{bmatrix} \begin{bmatrix} I & \\ & C^{-1} \end{bmatrix} \begin{bmatrix} D \\ E \end{bmatrix}$$

$$F = C^{-1}E$$

$$G = D - BF$$

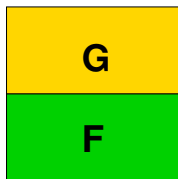
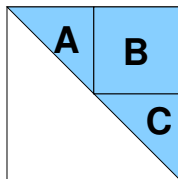
$$H = A^{-1}G$$

Return $\begin{bmatrix} H \\ F \end{bmatrix}$

(appel récursif)

(MM)

(appel récursif)



Préliminaires

TRSM: TRIangular Solve with Matrix

$$\begin{bmatrix} A & B \\ & C \end{bmatrix}^{-1} \begin{bmatrix} D \\ E \end{bmatrix} = \begin{bmatrix} A^{-1} & \\ & I \end{bmatrix} \begin{bmatrix} I & -B \\ & I \end{bmatrix} \begin{bmatrix} I & \\ & C^{-1} \end{bmatrix} \begin{bmatrix} D \\ E \end{bmatrix}$$

$$F = C^{-1}E$$

$$G = D - BF$$

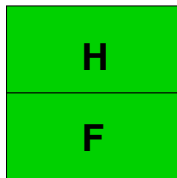
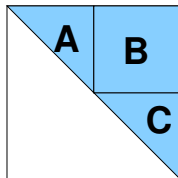
$$H = A^{-1}G$$

Return $\begin{bmatrix} H \\ F \end{bmatrix}$

(appel récursif)

(MM)

(appel récursif)



Préliminaires

TRSM: TRIangular Solve with Matrix

$$\begin{bmatrix} A & B \\ & C \end{bmatrix}^{-1} \begin{bmatrix} D \\ E \end{bmatrix} = \begin{bmatrix} A^{-1} & \\ & I \end{bmatrix} \begin{bmatrix} I & -B \\ & I \end{bmatrix} \begin{bmatrix} I & \\ & C^{-1} \end{bmatrix} \begin{bmatrix} D \\ E \end{bmatrix}$$

$$F = C^{-1}E$$

$$G = D - BF$$

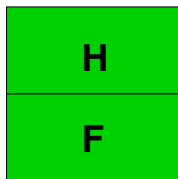
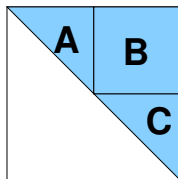
$$H = A^{-1}G$$

Return $\begin{bmatrix} H \\ F \end{bmatrix}$

(appel récursif)

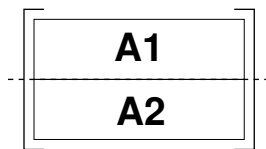
(MM)

(appel récursif)



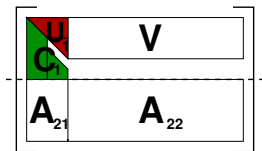
- ▶ $\mathcal{O}(n^\omega)$
- ▶ En place

La décomposition CUP



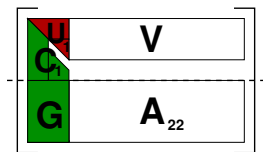
1. Partage A en deux sur les lignes

La décomposition CUP



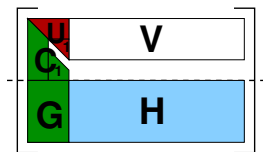
1. Partage A en deux sur les lignes
2. Appel récursif sur A_1

La décomposition CUP



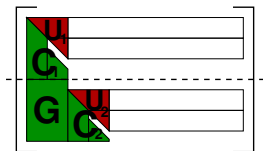
1. Partage A en deux sur les lignes
2. Appel récursif sur A_1
3. $G \leftarrow A_{21}U_1^{-1}$ (trsm)

La décomposition CUP



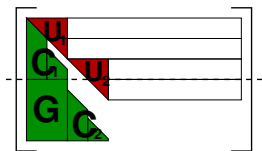
1. Partage A en deux sur les lignes
2. Appel récursif sur A_1
3. $G \leftarrow A_{21}U_1^{-1}$ (trsm)
4. $H \leftarrow A_{22} - G \times V$ (MM)

La décomposition CUP



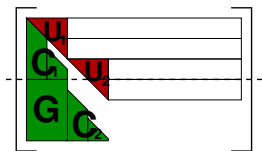
1. Partage A en deux sur les lignes
2. Appel récursif sur A_1
3. $G \leftarrow A_{21}U_1^{-1}$ (trsm)
4. $H \leftarrow A_{22} - G \times V$ (MM)
5. Appel récursif sur H

La décomposition CUP



1. Partage A en deux sur les lignes
2. Appel récursif sur A_1
3. $G \leftarrow A_{21}U_1^{-1}$ (trsm)
4. $H \leftarrow A_{22} - G \times V$ (MM)
5. Appel récursif sur H
6. Permutations de lignes

La décomposition CUP



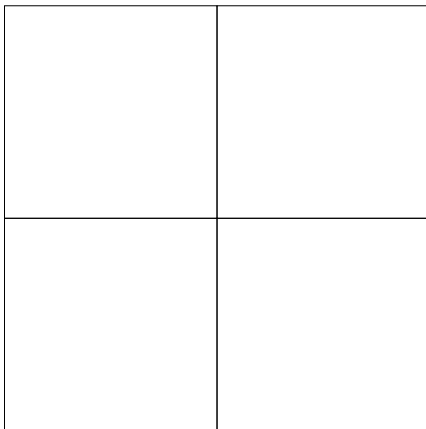
1. Partage A en deux sur les lignes
2. Appel récursif sur A_1
3. $G \leftarrow A_{21}U_1^{-1}$ (trsm)
4. $H \leftarrow A_{22} - G \times V$ (MM)
5. Appel récursif sur H
6. Permutations de lignes

► Les créneaux de C indiquent le profil de rang en ligne de A .

Algorithme PLUQ Quad-recursif

Principe:

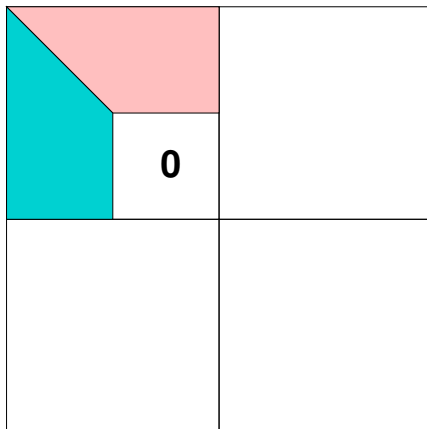
- ▶ découpe récursive selon lignes et colonnes
- ▶ il existe une façon de permuter les blocs qui révèle les profils de rang en ligne et en colonne à la fois.



Algorithme PLUQ Quad-recursif

Principe:

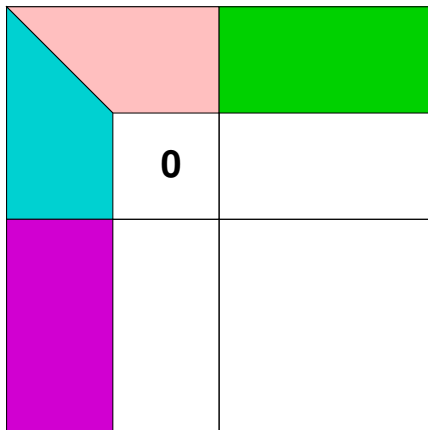
- ▶ découpe récursive selon lignes et colonnes
- ▶ il existe une façon de permuter les blocs qui révèle les profils de rang en ligne et en colonne à la fois.



Algorithme PLUQ Quad-recursif

Principe:

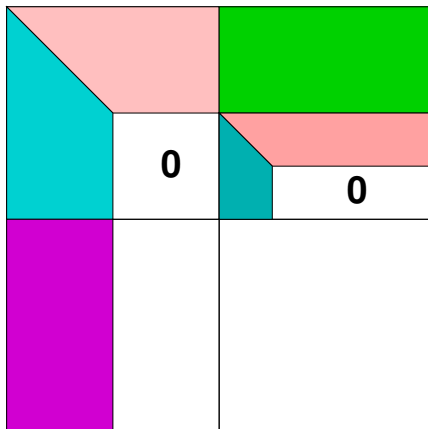
- ▶ découpe récursive selon lignes et colonnes
- ▶ il existe une façon de permuter les blocs qui révèle les profils de rang en ligne et en colonne à la fois.



Algorithme PLUQ Quad-recursif

Principe:

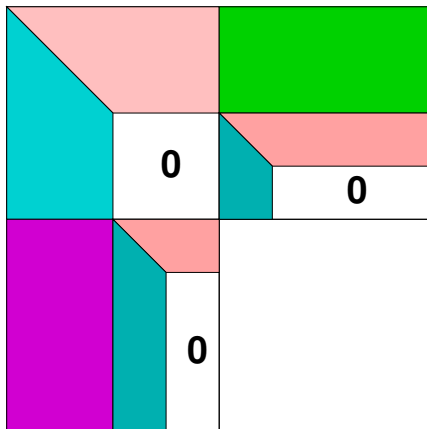
- ▶ découpe récursive selon lignes et colonnes
- ▶ il existe une façon de permuter les blocs qui révèle les profils de rang en ligne et en colonne à la fois.



Algorithme PLUQ Quad-récurusif

Principe:

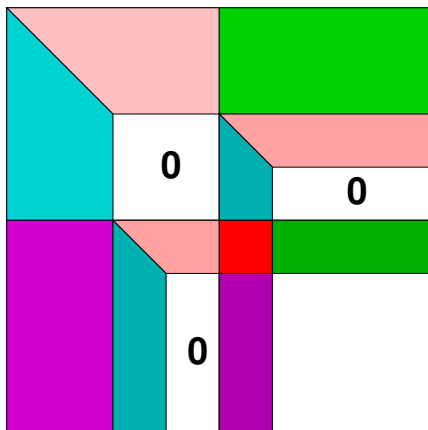
- ▶ découpe récursive selon lignes et colonnes
- ▶ il existe une façon de permuter les blocs qui révèle les profils de rang en ligne et en colonne à la fois.



Algorithme PLUQ Quad-recursif

Principe:

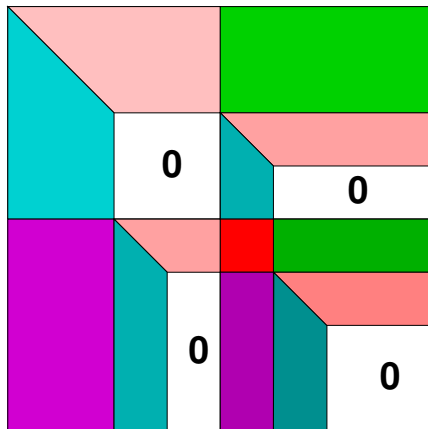
- ▶ découpe récursive selon lignes et colonnes
- ▶ il existe une façon de permuter les blocs qui révèle les profils de rang en ligne et en colonne à la fois.



Algorithme PLUQ Quad-récuratif

Principe:

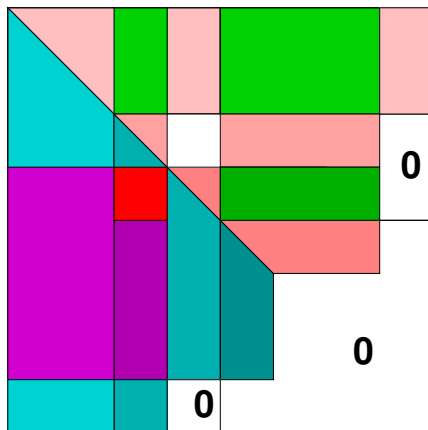
- ▶ découpe récursive selon lignes et colonnes
- ▶ il existe une façon de permuter les blocs qui révèle les profils de rang en ligne et en colonne à la fois.



Algorithme PLUQ Quad-récuratif

Principe:

- ▶ découpe récursive selon lignes et colonnes
- ▶ il existe une façon de permuter les blocs qui révèle les profils de rang en ligne et en colonne à la fois.



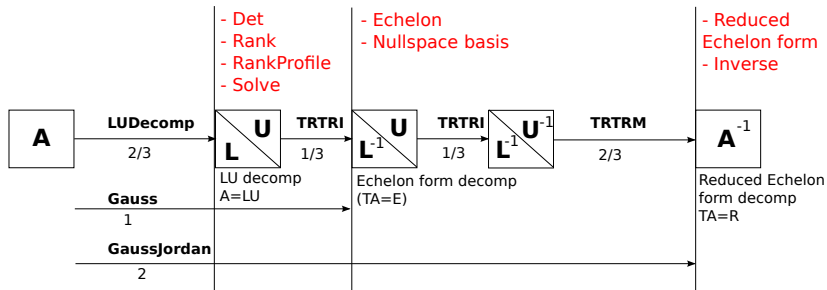
Comparaisons CUP vs PLUQ

- ▶ les algorithmes CUP et PLUQ ont une complexité sous-cubique sensible au rang: $\mathcal{O}(mnr^{\omega-2})$
- ▶ la constant du $\mathcal{O}()$ est identique et vaut $2/3$ quand $\omega = 3$.
- ▶ ils sont *en-place*

Profil de rang

- ▶ CUP révèle le profil de rang en ligne
- ▶ PLUQ révèle les profils de rang en ligne et colonne (ainsi que ceux de toute sous-matrice dominante)

Applications



Plan

Élimination de Gauss pour la forme échelonnée réduite

Décompositions à base d'éliminations de Gauss

Algorithmes

Forme normale de Hermite

Forme normale de Frobenius

Méthode de Krylov

Algorithme

Reduction au produit de matrices

Calcul de la forme normale de Hermite

Équivalence dans un anneau: $H = UA$, où $\det(U) = \pm 1$

Forme de Hermite: $H = \begin{bmatrix} p_1 & * & x_{1,2} & * & * & x_{1,3} & * \\ & & p_2 & * & * & x_{2,3} & * \\ & & & & & p_3 & * \end{bmatrix}$, avec $0 \leq x_{*,j} < p_j$

Forme échelonnée réduite dans un anneau

Amélioration de l'algorithme de Micciancio-Warinski

- ▶ $\mathcal{O}(n^5 \log \|A\|)$ (heuristiquement: $\mathcal{O}(n^3 \log \|A\|)$)
 - ▶ espace: $\mathcal{O}(n^2 \log \|A\|)$
- ⇒ Bon comportement avec les matrices aléatoires (uniforme), fréquentes en théorie des nombres

Calcul de la forme normale de Hermite

Équivalence dans un anneau: $H = UA$, où $\det(U) = \pm 1$

Forme de Hermite: $H = \begin{bmatrix} p_1 & * & x_{1,2} & * & * & x_{1,3} & * \\ & & p_2 & * & * & x_{2,3} & * \\ & & & & & p_3 & * \end{bmatrix}$, avec $0 \leq x_{*,j} < p_j$

Forme échelonnée réduite dans un anneau

Amélioration de l'algorithme de Micciancio-Warinski

- ▶ $\mathcal{O}(n^5 \log \|A\|)$ (heuristiquement: $\mathcal{O}(n^3 \log \|A\|)$)
- ▶ espace: $\mathcal{O}(n^2 \log \|A\|)$

⇒ Bon comportement avec les matrices aléatoires (uniforme), fréquentes en théorie des nombres

Implantation, réduction à des briques de base:

- ▶ SysLin dans \mathbb{Z} ,
- ▶ PLUQ et MatMul dans \mathbb{Z}_p

Algorithme naïf

```
1 begin
2   foreach  $i$  do
3      $(g, t_i, \dots, t_n) = \text{xgcd}(A_{i,i}, A_{i+1,i}, \dots, A_{n,i});$ 
4      $L_i \leftarrow \sum_{j=i+1}^n t_j L_j;$ 
5     for  $j = i + 1 \dots n$  do
6        $L_j \leftarrow L_j - \frac{A_{j,i}}{g} L_i;$           /* élimine */
7     for  $j = 1 \dots i - 1$  do
8        $L_j \leftarrow L_j - \lfloor \frac{A_{j,i}}{g} \rfloor L_i;$     /* réduit */
```

$$\begin{bmatrix} p_1 & * & x_{1,2} & * & * & x_{1,3} & * \\ & & p_2 & * & * & x_{2,3} & * \\ & & & & & p_3 & * \end{bmatrix}$$

Calcul modulo le déterminant [Domich & Al. 87]

Propriété

Pour A inversible: $\max_i \sum_j H_{ij} \leq \det H$

Exemple

$$A = \begin{bmatrix} -5 & 8 & -3 & -9 & 5 & 5 \\ -2 & 8 & -2 & -2 & 8 & 5 \\ 7 & -5 & -8 & 4 & 3 & -4 \\ 1 & -1 & 6 & 0 & 8 & -3 \end{bmatrix}, H = \begin{bmatrix} 1 & 0 & 3 & 237 & -299 & 90 \\ 0 & 1 & 1 & 103 & -130 & 40 \\ 0 & 0 & 4 & 352 & -450 & 135 \\ 0 & 0 & 0 & 486 & -627 & 188 \end{bmatrix}$$

$$\det A = 1944$$

Calcul modulo le déterminant [Domich & Al. 87]

Propriété

Pour A inversible: $\max_i \sum_j H_{ij} \leq \det H$

Exemple

$$A = \begin{bmatrix} -5 & 8 & -3 & -9 & 5 & 5 \\ -2 & 8 & -2 & -2 & 8 & 5 \\ 7 & -5 & -8 & 4 & 3 & -4 \\ 1 & -1 & 6 & 0 & 8 & -3 \end{bmatrix}, H = \begin{bmatrix} 1 & 0 & 3 & 237 & -299 & 90 \\ 0 & 1 & 1 & 103 & -130 & 40 \\ 0 & 0 & 4 & 352 & -450 & 135 \\ 0 & 0 & 0 & 486 & -627 & 188 \end{bmatrix}$$

$$\det A = 1944$$

De plus, tous les calculs peuvent être faits modulo $d = \det A$:

$$U' \begin{bmatrix} A & \\ dI_n & I_n \end{bmatrix} = \begin{bmatrix} H & \\ & I_n \end{bmatrix}$$

$$\Rightarrow \mathcal{O}(n^3) \times M(n(\log n + \log \|A\|)) = \mathcal{O}^\sim(n^4 \log \|A\|)$$

Calcul modulo le déterminant

- ▶ Estimation pessimiste sur l'arithmétique
 - ▶ d grand mais la plupart des coefficients de H sont petits
 - ▶ *En moyenne* : seules les dernières colonnes sont *grandes*
- ⇒ Calculer H' *proche* de H mais de petit déterminant

Calcul modulo le déterminant

- ▶ Estimation pessimiste sur l'arithmétique
 - ▶ d grand mais la plupart des coefficients de H sont petits
 - ▶ *En moyenne* : seules les dernières colonnes sont *grandes*
- ⇒ Calculer H' proche de H mais de petit déterminant

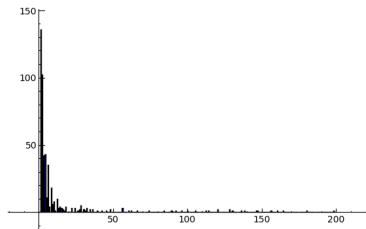
[Micciancio & Warinschi 01]

$$A = \begin{bmatrix} B & b \\ c^T & a_{n-1,n} \\ d^T & a_{n,n} \end{bmatrix}$$

$$d_1 = \det \left(\begin{bmatrix} B \\ c^T \end{bmatrix} \right), d_2 = \det \left(\begin{bmatrix} B \\ d^T \end{bmatrix} \right)$$

$$g = \text{pgcd}(d_1, d_2) = sd_1 + td_2 \quad \text{Alors}$$

$$\det \left(\begin{bmatrix} B \\ sc^T + td^T \end{bmatrix} \right) = g$$



Algorithme de Micciancio & Warinschi

1 **begin**

2 Compute $d_1 = \det \left(\begin{bmatrix} B \\ c^T \end{bmatrix} \right), d_2 = \det \left(\begin{bmatrix} B \\ d^T \end{bmatrix} \right);$ /* Double Det */

3 $(g, s, t) = \text{xgcd}(d_1, d_2);$

4 Compute H_1 the HNF of $\begin{bmatrix} B \\ sc^T + td^T \end{bmatrix} \pmod{g};$ /* Modular HNF */

5 Recover H_2 the HNF of $\begin{bmatrix} B & b \\ sc^T + td^T & sa_{n-1,n} + ta_{n,n} \end{bmatrix};$ /* AddCol */

6 Recover H_3 the HNF of $\begin{bmatrix} B & b \\ c^T & a_{n-1,n} \\ d^T & a_{n,n} \end{bmatrix};$ /* AddRow */

Algorithme de Micciancio & Warinschi

1 **begin**

2 Compute $d_1 = \det \left(\begin{bmatrix} B \\ c^T \end{bmatrix} \right), d_2 = \det \left(\begin{bmatrix} B \\ d^T \end{bmatrix} \right);$ /* Double Det */

3 $(g, s, t) = \text{xgcd}(d_1, d_2);$

4 Compute H_1 the HNF of $\begin{bmatrix} B \\ sc^T + td^T \end{bmatrix} \pmod{g};$ /* Modular HNF */

5 Recover H_2 the HNF of $\begin{bmatrix} B & b \\ sc^T + td^T & sa_{n-1,n} + ta_{n,n} \end{bmatrix};$ /* AddCol */

6 Recover H_3 the HNF of $\begin{bmatrix} B & b \\ c^T & a_{n-1,n} \\ d^T & a_{n,n} \end{bmatrix};$ /* AddRow */

Double Déterminant

Première approche: LU mod p_1, \dots, p_k + TRC

- ▶ Une seule élimination pour les $n - 2$ premières lignes
- ▶ 2 mises à jour pour les dernières ligne (remontée triang.)
- ▶ k *grand* tel que $\prod_{i=1}^k p_i > n^n \log \|A\|^{n/2}$

Double Déterminant

Première approche: LU mod p_1, \dots, p_k + TRC

- ▶ Une seule élimination pour les $n - 2$ premières lignes
- ▶ 2 mises à jour pour les dernières ligne (remontée triang.)
- ▶ k *grand* tel que $\prod_{i=1}^k p_i > n^n \log \|A\|^{n/2}$

Deuxième approche: [Abbott Bronstein Mulders 99]

- ▶ Résoudre $Ax = b$.
- ▶ $\delta = \text{ppcm}(q_1, \dots, q_n)$ tq $x_i = p_i/q_i$

Alors δ est un *grand* diviseur de $D = \det A$.

- ▶ Calculer D/δ par LU mod p_1, \dots, p_k + TRC
- ▶ k *petit*, tel que $\prod_{i=1}^k p_i > n^n \log \|A\|^{n/2} / \delta$

Double Déterminant : amélioré

Propriété

Soit $x = [x_1, \dots, x_n]$ la solution de $[A \mid c] x = d$. Alors $y = [-\frac{x_1}{x_n}, \dots, -\frac{x_{n-1}}{x_n}, \frac{1}{x_n}]$ est la solution de $[A \mid d] x = c$.

- ▶ 1 résolution de système
 - ▶ 1 seule LU par p_i
- ⇒ Calcul de d_1, d_2 pour le coût de 1 déterminant

Problème

Trouver un vecteur e tq

$$\left[H_1 \mid e \right] = U \begin{bmatrix} B & b \\ sc^T + td^T & sa_{n-1,n} + ta_{n,n} \end{bmatrix}$$

$$\begin{aligned} e &= U \begin{bmatrix} b \\ sa_{n-1,n} + ta_{n,n} \end{bmatrix} \\ &= H_1 \begin{bmatrix} B \\ sc^T + td^T \end{bmatrix}^{-1} \begin{bmatrix} b \\ sa_{n-1,n} + ta_{n,n} \end{bmatrix} \end{aligned}$$

⇒ Résoudre un système.

- ▶ $n - 1$ premières lignes *petites*
- ▶ dernière ligne *grande*

AddCol

Idée:

Remplacer la dernière ligne par une ligne aléatoire *petite* w^T .

$$\begin{bmatrix} B \\ w^T \end{bmatrix} y = \begin{bmatrix} b \\ a_{n-1,n-1} \end{bmatrix}$$

Soit k une base du noyau de B . Alors

$$x = y + \alpha k.$$

où

$$\alpha = \frac{a_{n-1,n-1} - (sc^T + td^T) \cdot y}{(sc^T + td^T) \cdot k}$$

⇒ limite l'arithmétique *chère* à des produits scalaires

Plan

Élimination de Gauss pour la forme échelonnée réduite

Décompositions à base d'éliminations de Gauss

Algorithmes

Forme normale de Hermite

Forme normale de Frobenius

Méthode de Krylov

Algorithme

Reduction au produit de matrices

Plan

Élimination de Gauss pour la forme échelonnée réduite

Décompositions à base d'éliminations de Gauss

Algorithmes

Forme normale de Hermite

Forme normale de Frobenius

Méthode de Krylov

Algorithme

Reduction au produit de matrices

Méthode de Krylov

Definition (degree d Krylov matrix of one vector v)

$$K = [v \quad Av \quad \dots \quad A^{d-1}v]$$

Propriété

$$A \times K = K \times \begin{bmatrix} 0 & & & * \\ 1 & & & * \\ & \ddots & & * \\ & & 1 & * \end{bmatrix}$$

Méthode de Krylov

Definition (degree d Krylov matrix of one vector v)

$$K = [v \quad Av \quad \dots \quad A^{d-1}v]$$

Propriété

$$A \times K = K \times \begin{bmatrix} 0 & & & * \\ 1 & & & * \\ & \ddots & & * \\ & & 1 & * \end{bmatrix}$$

\Rightarrow if $d = n$,

$$K^{-1}AK = C_{P_{car}^A}$$

Méthode de Krylov

Definition (degree d Krylov matrix of one vector v)

$$K = [v \quad Av \quad \dots \quad A^{d-1}v]$$

Propriété

$$A \times K = K \times \begin{bmatrix} 0 & & & * \\ 1 & & & * \\ & \ddots & & * \\ & & 1 & * \end{bmatrix}$$

\Rightarrow if $d = n$,

$$K^{-1}AK = C_{P_{car}^A}$$

\Rightarrow [Keller-Gehrig, alg. 2] computes K in $\mathcal{O}(n^\omega \log n)$

Definition (degree k Krylov matrix of several vectors v_i)

$$K = [v_1 \quad \dots \quad A^{k-1}v_1 \mid v_2 \quad \dots \quad A^{k-1}v_2 \mid \dots \mid v_l \quad \dots \quad A^{k-1}v_l]$$

Propriété

$$A \times K = K \times$$

The diagram illustrates the block structure of the matrix equation $A \times K = K \times$. The matrix is partitioned into three blocks of width k , k , and $\leq k$. Each block contains a sub-diagonal of ones and zeros in the top-left corner.

Hessenberg poly-cyclic form

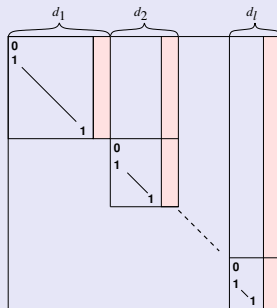
Fact

If (d_1, \dots, d_l) is lexicographically maximal such that

$$K = [v_1 \quad \dots \quad A^{d_1-1}v_1 \mid \dots \mid v_l \quad \dots \quad A^{d_l-1}v_l]$$

is non-singular, then

$$A \times K = K \times$$



Plan

Élimination de Gauss pour la forme échelonnée réduite

Décompositions à base d'éliminations de Gauss

Algorithmes

Forme normale de Hermite

Forme normale de Frobenius

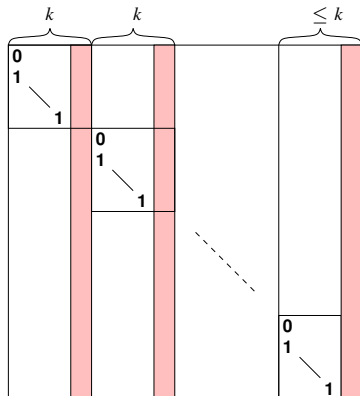
Méthode de Krylov

Algorithme

Reduction au produit de matrices

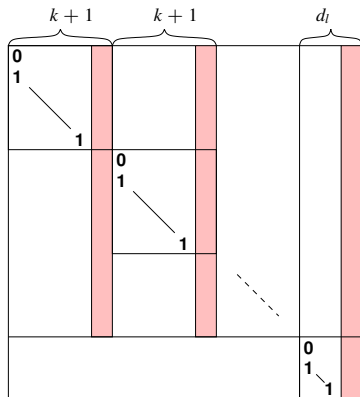
Principle

k -shifted form:



Principle

$k + 1$ -shifted form:



Principle

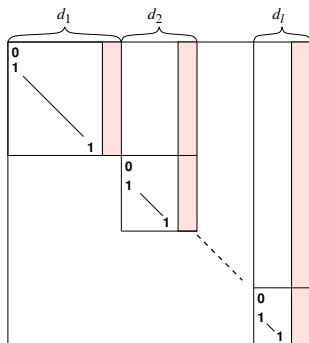
- ▶ Compute iteratively from 1-shifted form to d_1 -shifted form

Principle

- ▶ Compute iteratively from 1-shifted form to d_1 -shifted form
- ▶ each diagonal block appears in the increasing degree

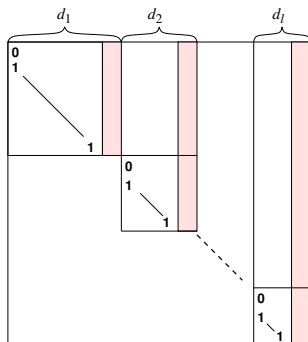
Principle

- ▶ Compute iteratively from 1-shifted form to d_1 -shifted form
- ▶ each diagonal block appears in the increasing degree
- ▶ until the shifted Hessenberg form is obtained:



Principle

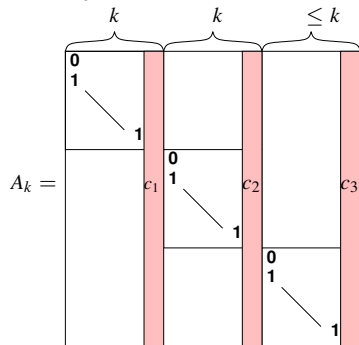
- ▶ Compute iteratively from 1-shifted form to d_1 -shifted form
- ▶ each diagonal block appears in the increasing degree
- ▶ until the shifted Hessenberg form is obtained:



How to transform from k to $k + 1$ -shifted form ?

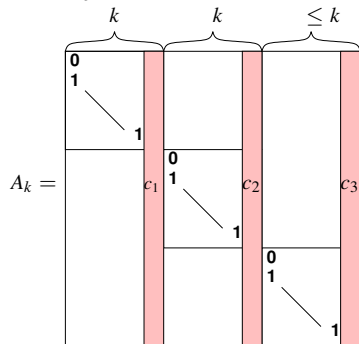
Krylov normal extension

for any k -shifted form

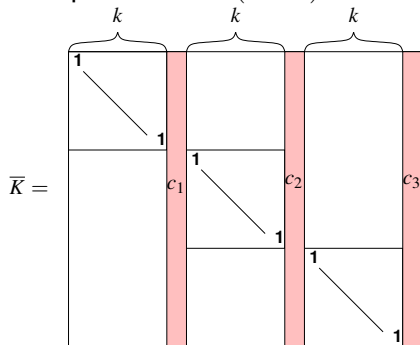


Krylov normal extension

for any k -shifted form

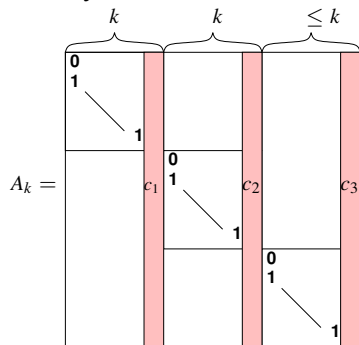


compute the $n \times (n + k)$ matrix

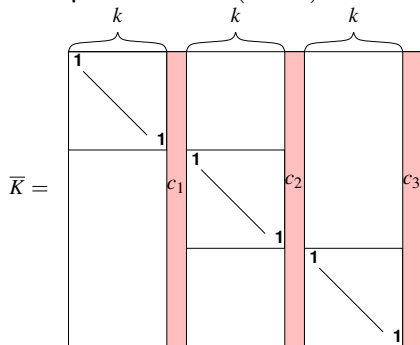


Krylov normal extension

for any k -shifted form



compute the $n \times (n + k)$ matrix



and form K by picking its first linearly independent columns.

The algorithm

- ▶ Form \bar{K} : just copy the columns of A_k

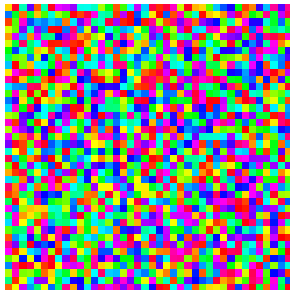
The algorithm

- ▶ Form \bar{K} : just copy the columns of A_k
- ▶ Compute K : rank profile of \bar{K}

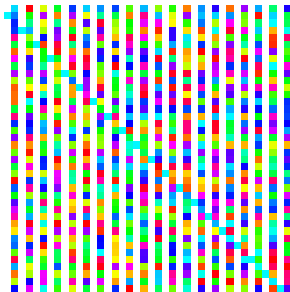
The algorithm

- ▶ Form \bar{K} : just copy the columns of A_k
- ▶ Compute K : rank profile of \bar{K}
- ▶ Apply the similarity transformation $K^{-1}A_kK$

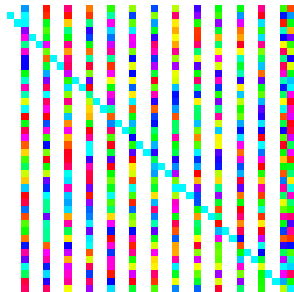
Example



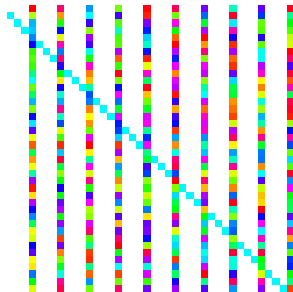
Example



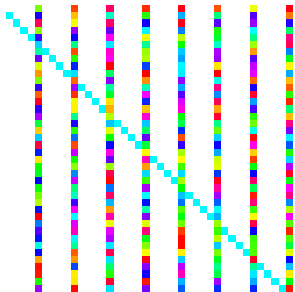
Example



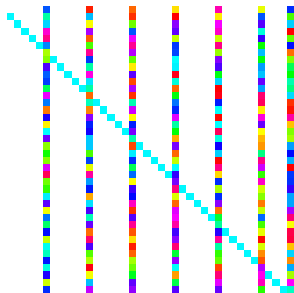
Example



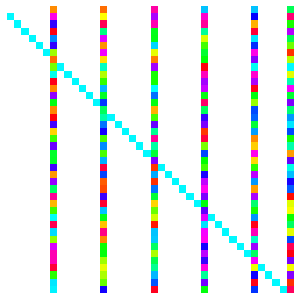
Example



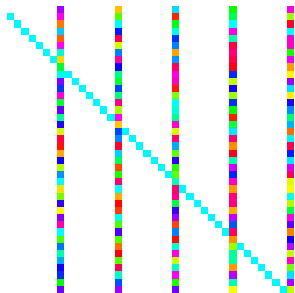
Example



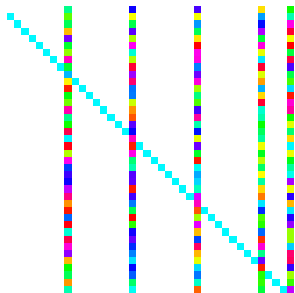
Example



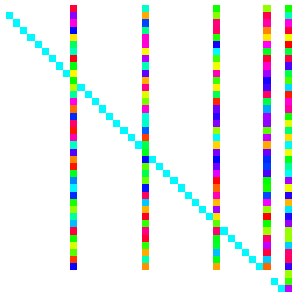
Example



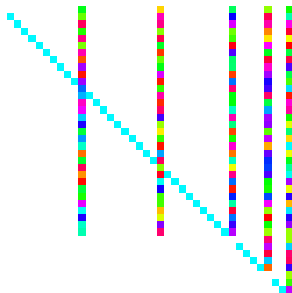
Example



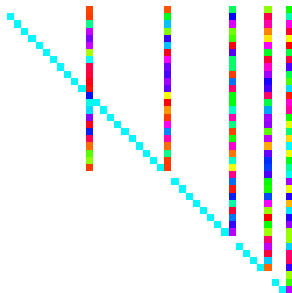
Example



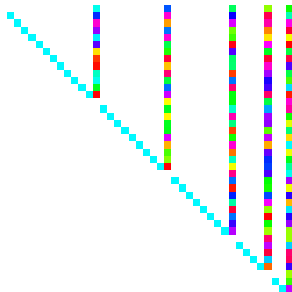
Example



Example



Example



Lemme

If $\#F > 2n^2$, the transformation will succeed with high probability. Failure is detected.

Lemme

If $\#F > 2n^2$, the transformation will succeed with high probability. Failure is detected.

How to use fast matrix arithmetic ?

Plan

Élimination de Gauss pour la forme échelonnée réduite

Décompositions à base d'éliminations de Gauss

Algorithmes

Forme normale de Hermite

Forme normale de Frobenius

Méthode de Krylov

Algorithme

Reduction au produit de matrices

Reduction to Matrix multiplication

Similarity transformation: parenthesing

$$K^{-1}AK = Q'^{-1} \begin{bmatrix} I & * \\ 0 & * \end{bmatrix} P'^{-1}Q \begin{bmatrix} I & * \\ 0 & * \end{bmatrix} PQ' \begin{bmatrix} I & * \\ 0 & * \end{bmatrix} P'$$

Reduction to Matrix multiplication

Similarity transformation: parenthesing

$$K^{-1}AK = Q'^{-1} \left(\begin{bmatrix} I & * \\ 0 & * \end{bmatrix} \left(P'^{-1}Q \left(\begin{bmatrix} I & * \\ 0 & * \end{bmatrix} \left(PQ' \begin{bmatrix} I & * \\ 0 & * \end{bmatrix} \right) \right) \right) \right) P'$$

Reduction to Matrix multiplication

Similarity transformation: parenthesing

$$K^{-1}AK = Q'^{-1} \left(\begin{bmatrix} I & * \\ 0 & * \end{bmatrix} \left(P'^{-1}Q \left(\begin{bmatrix} I & * \\ 0 & * \end{bmatrix} \left(PQ' \begin{bmatrix} I & * \\ 0 & * \end{bmatrix} \right) \right) \right) \right) P'$$

$\Rightarrow \mathcal{O} \left(k \left(\frac{n}{k} \right)^\omega \right)$

Reduction to Matrix multiplication

Similarity transformation: parenthesing

$$K^{-1}AK = Q'^{-1} \left(\left[\begin{array}{cc} I & * \\ 0 & * \end{array} \right] \left(P'^{-1} Q \left(\left[\begin{array}{cc} I & * \\ 0 & * \end{array} \right] \left(P Q' \left[\begin{array}{cc} I & * \\ 0 & * \end{array} \right] \right) \right) \right) \right) P'$$

$\Rightarrow \mathcal{O} \left(k \left(\frac{n}{k} \right)^\omega \right)$

Overall complexity: summing for each iteration:

$$\sum_{k=1}^n k \left(\frac{n}{k} \right)^\omega = n^\omega \sum_{k=1}^n \left(\frac{1}{k} \right)^{\omega-1} = \zeta(\omega - 1) n^\omega = \mathcal{O}(n^\omega)$$

A new type of reduction

$$xI_n - A$$

dimension = n
degree = 1



$$\square$$

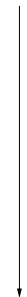
dimension = 1
degree = n

$$\det(xI_n - A)$$

A new type of reduction

$$xI_n - A$$

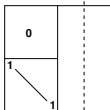
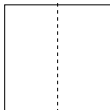
dimension = n
degree = 1



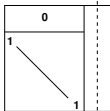
dimension = 1
degree = n

$\det(xI_n - A)$

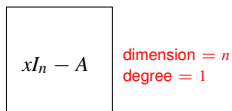
Keller-Gehrig 2



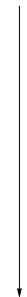
dimension = $\frac{n}{2^i}$
degree = 2^i



A new type of reduction



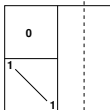
dimension = n
degree = 1



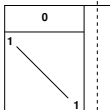
dimension = 1
degree = n

$\det(xI_n - A)$

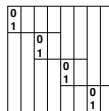
Keller-Gehrig 2



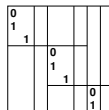
dimension = $\frac{n}{2^i}$
degree = 2^i



Progression arithmétique



dimension = $\frac{n}{k}$
degree = k



Conclusion

Réductions vers des briques de base

MatMul: récursif par bloc $\sum_{i=1}^{\log n} n \left(\frac{n}{2^i}\right)^{\omega-1} = \mathcal{O}(n^\omega)$ (Gauss)

MatMul: Itératif $\sum_{k=1}^n n \left(\frac{n}{k}\right)^{\omega-1} = \mathcal{O}(n^\omega)$ (Frobenius)

SysLin: over \mathbb{Z} (forme de Hermite)

Compromis taille/dimension

- ▶ Forme de Hermite : perturbations de rang 1 pour réduire le déterminant
- ▶ Forme de Frobenius : degré k , dimension n/k pour $k = 1 \dots n$